

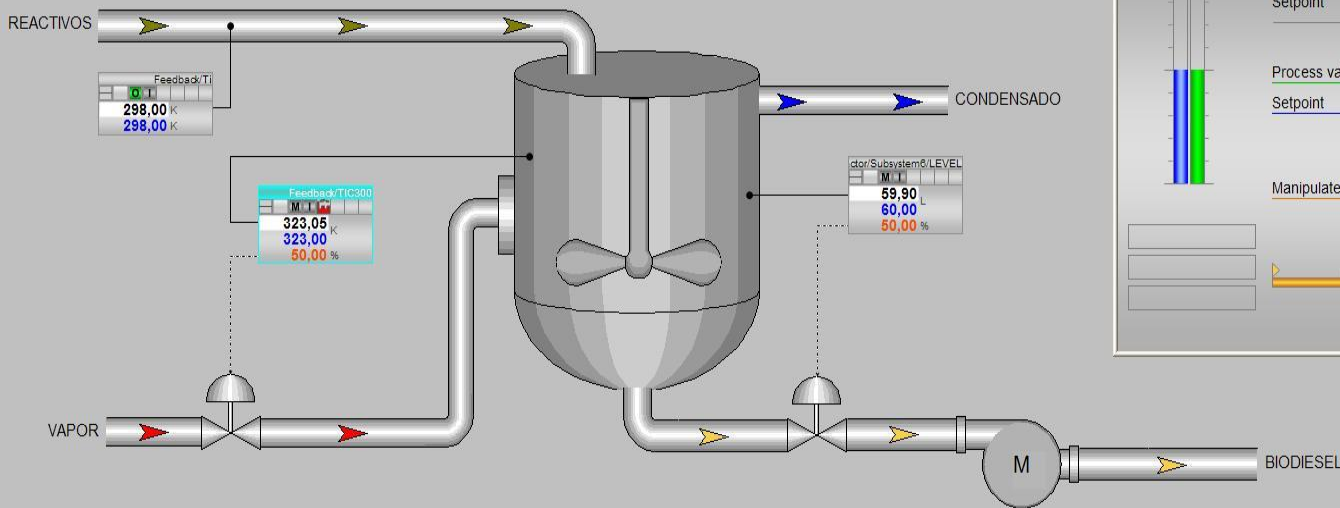


# Diseño controladores en el Dominio Discreto

01\_UnitTemplates    02\_Help    DistillationGroup    CSTR

9/4/2013 5:56:59 PM

## CONTROL FEEDBACK



CSTR/Feedback/TIC300

Continuous PID controller - large

Mode: Manual

Setpoint: Internal

Process value: 323.0466 K

Setpoint: 323 K

Manipulated var.: 50.00 %

# Objetivos Generales



- Diseñar controladores basados en herramientas del Dom. Discreto
  - Procedimientos alternativos:
    - › Diseñar en Dom. Frec. (TP2) y luego discretizar  $\rightarrow$  equivalentes discretos
    - › Utilizar técnicas de transformación (Transformada W) bajo hipótesis
    - › Desarrollar directamente el controlador en Dom. discreto (mét. de Ragazzini)
- Familiarizarse con herramientas computacionales (funciones de Matlab)
  - Cálculo de equivalentes discretos de funciones continuas
    - › `"c2d"`, `"recadel"`, `"recatras"`
  - Cómputo de la transformada W (y su inversa)
    - › `"transfw"`, `"antitransfw"`



# Objetivos específicos: 4 secciones



- 1. Cálculo y simulación de equivalentes discretos (sección 2.1)
  - Definir un sist. discreto con = características (en D.T. y D. F.) que su equiv. continuo
  - Métodos de integración numérica → reglas rectangulares y trapezoidal
  - Método de Mapeo de polos y ceros → relación  $z = e^{sT}$  entre planos  $s$  y  $z$
  - Método del bloqueador equivalente 
$$H(z) = (1 - z^{-1})Z \left[ \frac{H(s)}{s} \right]$$
    - › Supone la presencia de un bloqueador de orden 0
- 2. Diseño de un controlador digital usando técnicas de transformación (ejercicio integrado en la sección 2.2.2)
  - Método de la Transformada W (procedimiento e hipótesis de aplicación)
- 3. Diseño de un controlador por el método de Ragazzini (sección 2.2.1)
  - Método directo a partir de las especificaciones y restricciones de diseño
- 4. Diseño de un controlador utilizando un Compensador de Smith (sección 2.2.2)
  - Compensar tiempo muerto del proceso (como en TP1)





- Campus virtual
  - Enunciado TP
  - Presentación (.pdf)
  - Archivos Matlab
    - › Simulación
      - Modelo no lineal (Simulink) → “CSTR\_TP3\_2021.mdl”
      - parametrización modelo → “data.mat”
    - › Scripts
      - Cálculo equiv. Discretos
        - » “c2d”, “recadel”, “recatras”
      - Cómputo de la Transformada W y su anti-transformada
        - » “transfw”, “antitransfw”



## 2.1. Cálculo y simulación de equivalentes discretos



- Cálculo del equiv. discreto del controlador  $J(s)$  (PI+PD) diseñado en TP2
  - Utilizando los diferentes métodos (5)
  - Utilizando diferentes períodos de muestreo ( $T=2$  y  $T=20$ )
  - Estudio de la estabilidad
    - › ¿Qué ocurre con los polos de los equiv. discretos calculados?
  - Análisis y comparación de las características en D. Frecuencial
    - › Bode magnitud
  - Análisis y comparación de la rta. Temporal
    - › Servo-comportamiento
    - › “CSTR\_TP3\_2021.mdl” y “data.mat”
  - Discrepancias para  $T=20 \rightarrow$  ¿Por qué  $T=20$  no es un periodo de muestreo adecuado?
    - › ¿Relación con la constante de tiempo más rápida del sistema?
- Partiendo de  $J(s)$  en formato “zpk”
  - Regla trapezoidal  $\rightarrow J_z = c2d(J, T, 'tustin')$
  - Regla rectangular por adelanto  $\rightarrow J_z = recadel(J, T)$
  - Regla rectangular por atraso  $\rightarrow J_z = recatras(J, T)$
  - Mapeo de polos y ceros  $\rightarrow J_z = c2d(J, T, 'matched')$
  - Bloqueador Equivalente  $\rightarrow J_z = c2d(J, T, 'zoh')$



## 2.1. Cálculo y simulación de equivalentes discretos



- Cálculo del equiv. discreto del controlador  $J(s)$  (PI+PD) diseñado en TP2
  - Utilizando los diferentes métodos (5)
  - Utilizando diferentes períodos de muestreo ( $T=2$  y  $T=20$ )
  - Estudio de la estabilidad
    - › ¿Qué ocurre con los polos de los equiv. discretos calculados?
  - Análisis y comparación de las características en D. Frecuencial
    - › Bode magnitud
  - Análisis y comparación de la rta. Temporal
    - › Servo-comportamiento
    - › “CSTR\_TP3\_2020.mdl” y “data.mat”
  - ¿Por qué  $T=20$ s. no es un periodo de muestreo aceptable?
    - › Relación con la cte de tiempo más rápida?

### • Partiendo de $J(s)$ en formato “zpk”

- |                                  |                                |
|----------------------------------|--------------------------------|
| – Regla trapezoidal              | → $J_z = c2d(J, T, 'tustin')$  |
| – Regla rectangular por adelanto | → $J_z = recadel(J, T)$        |
| – Regla rectangular por atraso   | → $J_z = recatras(J, T)$       |
| – Mapeo de polos y ceros         | → $J_z = c2d(J, T, 'matched')$ |
| – Bloqueador Equivalente         | → $J_z = c2d(J, T, 'zoh')$     |



## 2.2.1. Método de diseño directo: Ragazzini

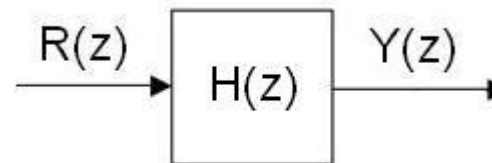
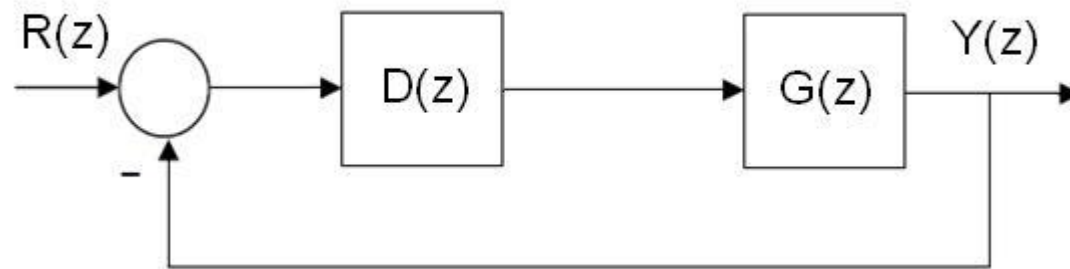


- Se dispone modelo del proceso  $G(z)$
- Se asume estructura con controlador  $D(z)$  y realimentación unitaria
- Se desea una determinada dinámica  $H(z)$  entre  $R(z)$  e  $Y(z)$

$$H(z) = \frac{DG}{1 + DG}$$

- Objetivo: diseñar  $D(z)$  para lograr la  $H(z)$  deseada

$$D(z) = \frac{1}{G(z)} \frac{H(z)}{1 - H(z)}$$

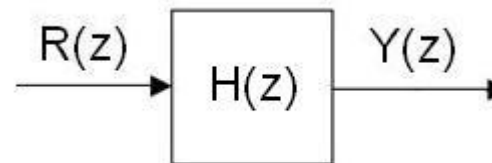
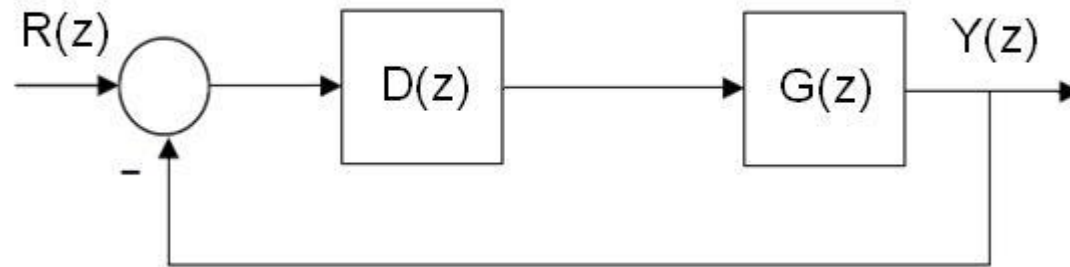


## 2.2.1. Método de diseño directo: Ragazzini



$$D(z) = \frac{1}{G(z)} \frac{H(z)}{1 - H(z)}$$

- $D(z)$ : busca cancelar dinámica del proceso y agregar dinámica deseada
- Existen restricciones sobre  $H(z)$  para que el problema sea factible





## 2.2.1. Ragazzini: Limitaciones sobre $H(z)$



- 1. Precisión dinámica

- La dinámica requerida está asociada con la ubicación de los polos de  $H(z)$
- Asumimos dinámica de 2do orden

- Denominador de  $H(z)$  es:  $z^2 - (2r \cos \theta)z + r^2$  con:  $r = e^{-p w_n T}$   
 $\theta = w_n T \sqrt{1 - p^2}$

- 2. Causalidad de  $D(z)$

- Para que  $D(z)$  sea causal  $\rightarrow$  el orden(denominador)  $\geq$  orden(numerador)  
(i.e.  $D(z)$  no debe tener polos en infinito)

- Dado que  $D(z) = \frac{1}{G(z)} \frac{H(z)}{1 - H(z)}$  entonces:

› Si  $G(z)$  tiene un nro de ceros en inf,  $H(z)$  debe tener el mismo nro de ceros en inf  
(caso contrario  $D(z)$  tendría polos en inf)

- $F(z) = \frac{az^m + bz^{m-1} + \dots}{cz^n + dz^{n-1} + \dots}$   $F(z)$  tiene  $(n-m)$  ceros en Inf. si  $n > m$   $\lim_{z \rightarrow \infty} F(z) = 0$

- Ya tenemos la estructura de  $H(z)$



## 2.2.1. Ragazzini: Limitaciones sobre $H(z)$



- 3. Estabilidad

- Dado que  $D(z) = \frac{1}{G(z)} \frac{H(z)}{1 - H(z)}$  entonces:

- $[1-H(z)]$  debe tener como ceros, todos los polos  $G(z)$  que estén fuera de la CU
    - $H(z)$  debe tener como ceros, todos los ceros  $G(z)$  que estén fuera de la CU

- 4. Precisión estática

- (Teor. del val. final)  $\rightarrow$  para tener error de EE nulo para entr. escalón se demuestra:
    - $H(z=1) = 1$

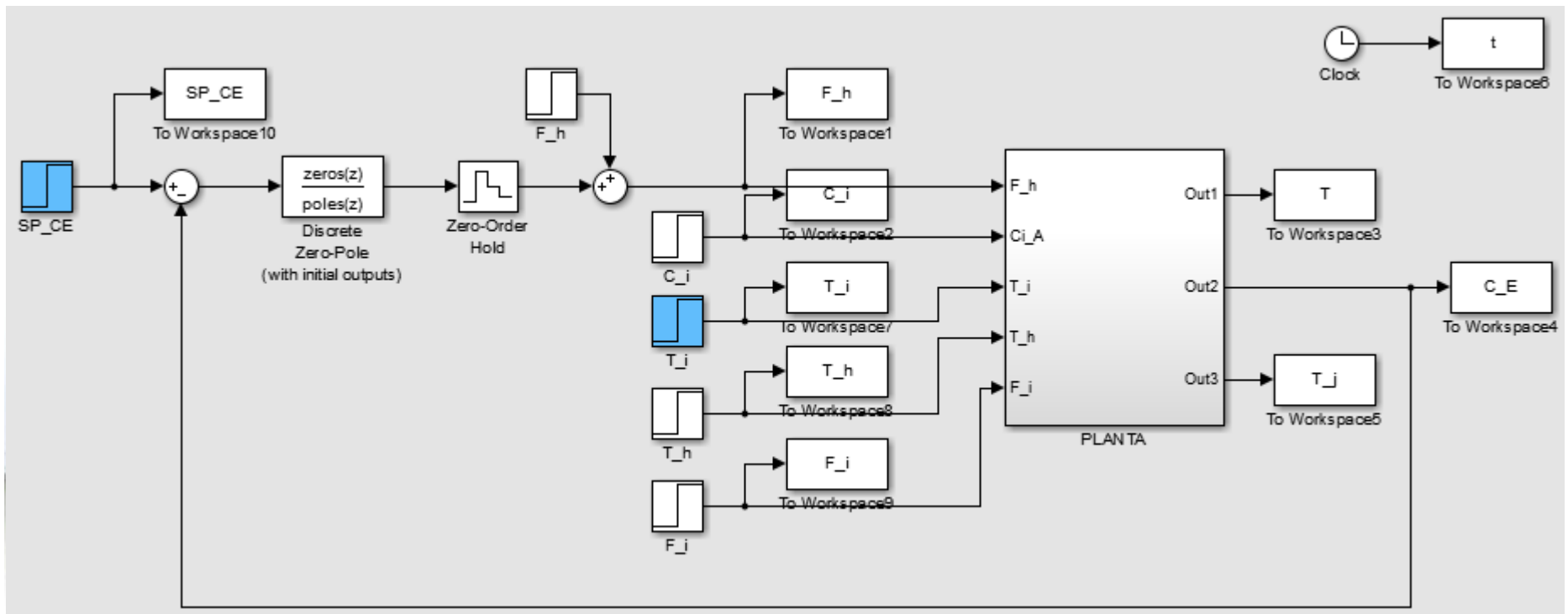
- Con estas condiciones se plantean ecuaciones para despejar los coeficientes del numerador de  $H(z)$
- Con  $H(z)$  y  $G(z) \rightarrow$  computar  $D(z)$



## 2.2.1. Ragazzini: implementación



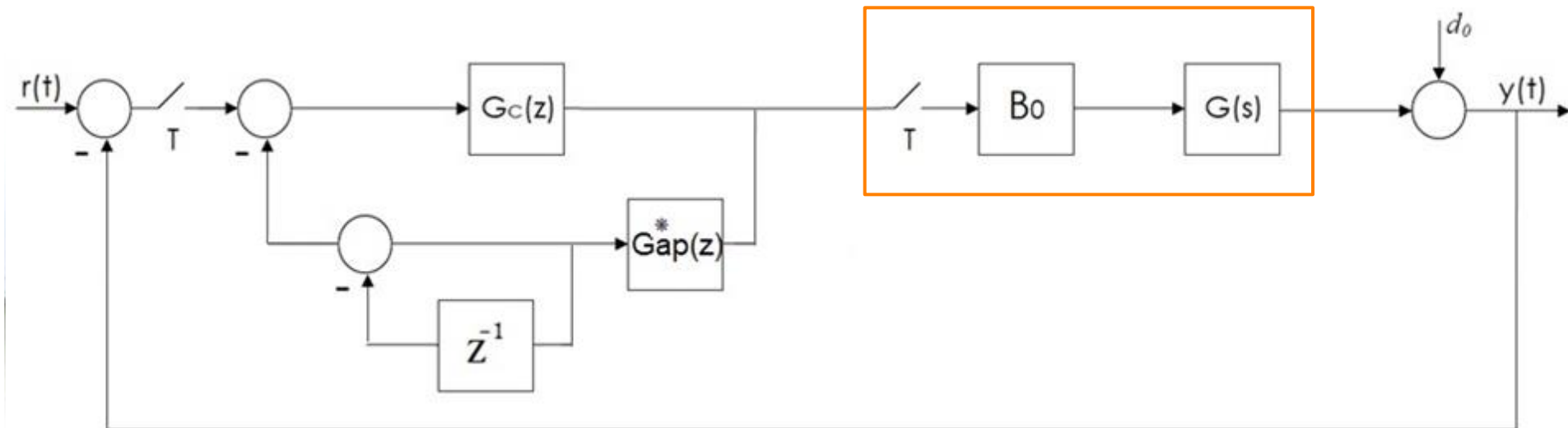
- Cargar “data.mat”
  - Configurar “T” en el bloque controlador y en el z-o-h
- Cargar controlador (formato zpk)
  - Criterio de seguridad para la ganancia
- Analizar discrepancias en los requisitos dinámicos



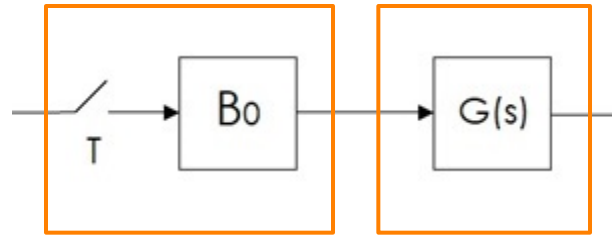
## 2.2.2. Compensador de Smith



- Compensar el tiempo muerto del proceso
- Varios bloques a diseñar
  - $G_c(z)$  sin considerar el tiempo muerto
  - Modelo del proceso (rectángulo naranja) sin tiempo muerto
  - Tiempo muerto
- Diseño de  $G_c(z) \rightarrow$  2 caminos posibles



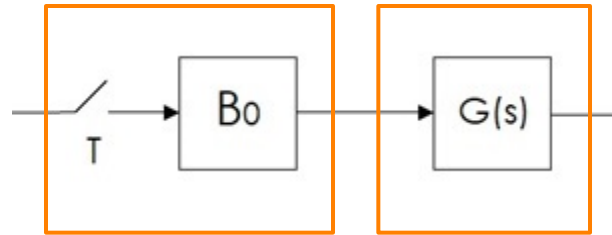
## 2.2.2. Smith. Camino #1: partiendo del sistema continuo



- $$G_{ap}^*(s) = \frac{1 - e^{-Ts}}{s} G^*(s) \quad \text{con} \quad e^{-Ts} \cong \frac{1 - \frac{T}{2}s}{1 + \frac{T}{2}s} \quad (\text{Padé})$$
- A partir de  $G_{ap}^*(s)$ , diseño  $G_c(s)$  en Dom. Frecuencial (como en TP2)
- Hallar equivalente discreto  $G_c(z)$  con método de mapeo de polos y ceros
- Además  $G_{ap}^*(z) \rightarrow$  equivalente discreto de  $G^*(s)$  con mét. Bloq. Equiv.  
 $\rightarrow$  también desde  $G_{ap}^*(s)$  con mapeo de polos y ceros
- Implementación: utilizar Simulink Ragazzini como base



## 2.2.2. Smith. Camino #2: partiendo del sistema discreto



$$\frac{1 - e^{-Ts}}{s}$$

$$G^*(s) e^{-\theta_p s}$$

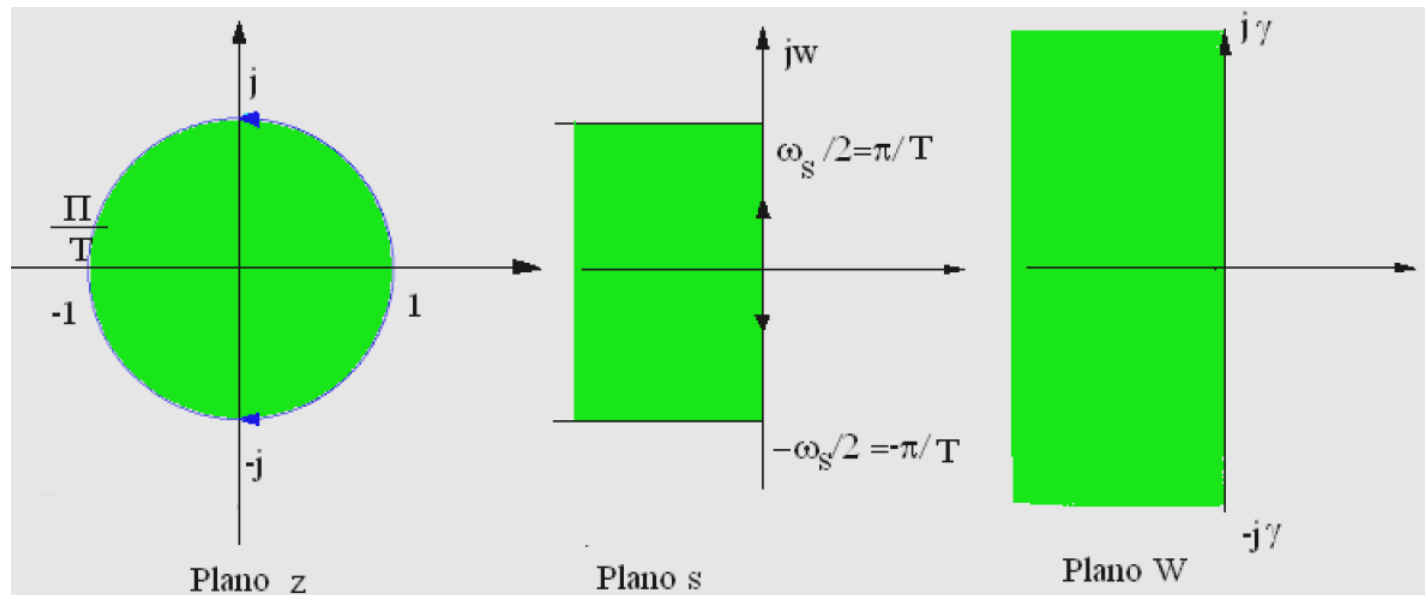
- A partir de  $G^*(s)$ , hallar  $G_{ap}^*(z)$  con mét. Bloq. Equiv.
- Con  $G_{ap}^*(z) \rightarrow$  diseñar  $G_c(w)$  a través de Transformada  $W$
- Hallar  $G_c(z)$  utilizando la antitransformada  $W$
- Además  $G_{ap}^*(z) \rightarrow$  equivalente discreto de  $G^*(s)$  con mét. Bloq. Equiv.  
 $\rightarrow$  también desde  $G_{ap}^*(s)$  con mapeo de polos y ceros
- Implementación: utilizar Simulink Ragazzini como base



# Anexo. Diseño de $J(z)$ con el método de la Transf. W



- $FT(z)$  con  $z=e^{j\omega T}$  no corresponde a una representación racional en  $w$ 
  - No es posible aplicar métodos de respuesta en frecuencia (TP2)
- Transformada W (bilineal)  $\rightarrow W = 2/T * (z-1)/(z+1)$ 
  - Transf de variables para llevar la representación a la forma racional  $FT(W)$
  - Poder aplicar procedimiento diseño conocido bajo ciertas hipótesis
  - De teoría:  $W=j\gamma$  con  $\gamma$ : pseudo-frecuencia en el plano-W
  - Se demuestra que  $\gamma \rightarrow w$  cuando  $T \rightarrow 0$
  - i.e. podemos trabajar en Dom. W como lo hacemos en Dom. s (diseño en Dom. Frec) siempre que T sea aceptablemente pequeño ( $\omega T/2 \ll 1$ )



# Anexo. Diseño de $J(z)$ vía Transf. $W$ : procedimiento



- 1.  $G(s)$  (zpk)  $\rightarrow$  método z.o.h.  $\rightarrow G(z)$
- 2.  $G(z)$  (zpk)  $\rightarrow$  Transf.  $W \rightarrow G(W)$ 
  - $G_w = \text{transfw}(G_z)$
  - var. “s” como var. “w”
  - Al comparar  $G(W)$  contra  $G(s)$ :
    - › Sus ganancias estáticas coinciden  $\rightarrow G(s=0) = G(W=0)$
    - › denominadores tienen = forma  $\rightarrow$  ubicación polos difieren ligeramente (dep. de T)
    - › lo mismo ocurre con los ceros
    - › aparecen 2 ceros en  $G(W)$  (por el proceso de muestreo/retención)
      - 1 cero no-mínima fase en  $W=2/T$
      - 1 cero negativo en alta frecuencia
- 3. Eliminar cero de alta frecuencia ( $G'(W)$ ) y corregir la ganancia ( $G''(W)$ )
  - $K * G'(W=0) = G(s=0)$
- 4. A partir de  $G''(W)$  diseñar el controlador  $G_c(W)$  con el mét. frecuencial (TP2)
  - Verificar que T sea aceptablemente pequeño ( $wT/2 \ll 1$ )
- 5.  $G_c(W) \rightarrow$  Anti-Transf.  $W \rightarrow G_c(z)$ 
  - $G_{cz} = \text{antitransfw}(G_{cw}, T)$

